

<http://www.geojournals.cn/georev/ch/index.aspx>

含褐鈷鉻礦花崗岩中鉀長石化 与成矿作用的关系

孔慶先

褐鈷鉻礦在花崗岩中富集成为一种新的具有工业远景的銅矿床，給花崗岩带来了新的面貌，因此引起了广大地质工作者的注意。对于褐鈷鉻礦矿床成因类型，以往多認為属于与交代作用无关的岩浆矿床；但是根据几年来野外和室内大量資料研究的結果，发现这类花崗岩中普遍发育着造岩矿物的自交代作用，在岩体的边缘相及过渡相尤为強烈，而岩体的中心相发育程度相对減弱。因此，通过这些事实使我們不得不对含褐鈷鉻礦花崗岩中的成矿作用进行必要的探討。

一、地質岩石矿物特征

含褐鈷鉻礦花崗岩为侵入于泥盆紀灰岩与砂岩中之黑云母花崗岩。絕對年齡測定結果約為9,000万年，属燕山期侵入体，同一侵入时期的侵入体形成了不同的侵入阶段（即

一、二、三期花崗岩）（图1）。

第一期花崗岩（ γ_6 ）为細粒斑状花崗岩，斑晶为石英、鉀長石、斜長石构成。被第二期花崗岩切穿，并在其中呈較大的殘留体，两者无相变关系。褐鈷鉻礦含量很低。分布于岩体西部，約占岩体出露面积的1/4。

第三期花崗岩（ γ_3 ）为細粒花崗岩，呈小的侵入体或岩株岩脉状产出，主要分布于岩体西部，在边部尤为常見。侵入到第一期花崗岩中，在第二期花崗岩中常見其呈岩脉侵入。付矿物除鋯英石、鈦鐵矿外，褐鈷鉻礦含量很低。此外，繼第三期花崗岩活动之后，并形成了不发育的伟晶岩和細晶岩脉。

第二期花崗岩（ γ_7 — γ_{10} ）为岩体主要組成部分，約占岩体出露面积的3/4，为岩相分带明显的中粒（边

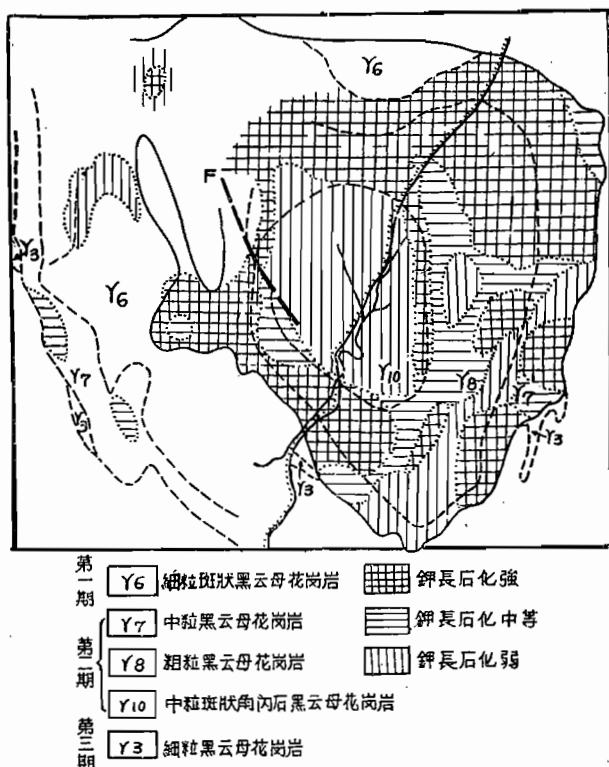


图1 某含褐鈷鉻礦花崗岩岩相分带及鉀長石化强度分布平面示意图

緣相)、粗粒(过渡相)、中粒斑状(中心相)黑云母花岗岩，主要为钾长石(微斜条纹长石、条纹长石)、斜长石(An12—25)、石英、黑云母组成的岩石。角闪石仅在岩体的中心相见到。由岩体中部向边部钾长石及石英含量逐渐增加，而奥长石及黑云母含量逐渐减少(表1)。岩石化学特征，按查氏分类属二类三科的硅酸过饱和过碱性岩石。造岩元素K、Na、Si向边部逐渐增加，Ca、Al、Fe、Mg则逐渐减少(图2表2)。

表1 含褐钇铜矿花岗岩造岩矿物特征

岩 相	岩 石 名 称	造 岩 矿 物		主要稀有元素矿物	
		名 称	含 量 %		
边 緣 相	中 粒 黑 云 母 花 岗 岩	微斜条纹长石	43—50	褐钇铜矿 独居石 榍英石	
		条纹长石			
		微斜长石			
		斜长石(An10—15)	15—20		
		石英	30—40		
		黑云母	3—7		
过 渡 相	粗 粒 黑 云 母 花 岗 岩	微斜条纹长石	45—50	褐钇铜矿 独居石 榍英石 钛铁矿	
		条纹长石			
		微斜长石			
		正长石	18—25		
		斜长石(An10—25)			
		石英	25—35		
中 心 相	中 粒 斑 状 角 闪 石 黑 云 母 花 岗 岩	条纹长石	42—45	钛铁矿 榍英石 褐帘石 榍石	
		微斜条纹长石			
		斜长石(An10—28)	20—30		
		石英	20—25		
		黑云母	7—10		
		角闪石	3±		

本期花岗岩以富含褐钇铜矿为其主要特征，与褐钇铜矿伴生的付矿物有钛铁矿、独居石、Th-榍石、榍英石、褐帘石、榍石、榍石、磷钇矿、铌铁矿。褐钇铜矿的富集与钛铁矿、褐帘石、榍石呈反比的消长关系。根据稀有元素矿物共生组合由岩体外部向内相应分为：①褐钇铜矿带；②褐钇铜矿、独居石带；③钛铁矿、褐帘石带。虽然如此，褐钇铜矿的富集部位并不完全与岩相带吻合，而与各岩相带中钾长石交代作用的发育程度有关。

二、钾长石交代作用及其分布

含褐钇铜矿花岗岩结晶作用后期，交代作用所形成的钾长石，在所交代的花岗岩中占钾长石总量的绝大部分，并且分布较广；而原生的钾长石(微斜长石和少量的微斜条纹长石)含量较少。钾长石交代作用并非对所有的造岩矿物进行交代，而是具有一定的选择性，它主要是交代斜长石(奥长石)而发育，表现了选择交代的特点。在交代过程中K的带入和Na、Ca的带出，导致钾长石交代作用往往不是单独发生，而是继钾长石交代作用之后，常相应地产生钠长石析出交代作用。

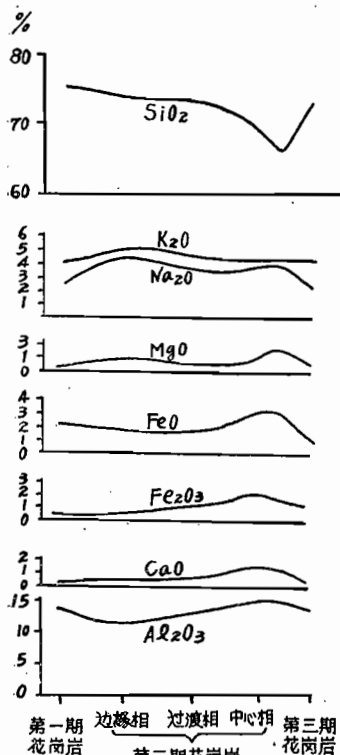


图 2 含褐鈦鉻矿花崗岩
岩石化学成分变化曲綫圖

表 2

侵入阶段及岩相 重量(%) 氧化物	第一期 花崗岩	第二期花崗岩			第三期 花崗岩
		边缘相	过渡相	中心相	
SiO ₂	75.40	73.91	73.26	66.36	75.51
TiO ₂	0.44	0.09	0.19	0.54	0.32
Al ₂ O ₃	13.31	11.74	12.47	14.56	12.89
Fe ₂ O ₃	0.33	0.40	0.92	1.65	0.84
FeO	2.22	1.74	1.67	3.33	0.82
MnO	0.13	0.14	0.11	0.18	0.02
MgO	0.39	0.81	0.62	1.93	0.08
CaO	0.57	0.81	0.99	1.78	0.28
Na ₂ O	2.56	4.54	4.22	4.40	1.94
K ₂ O	4.18	4.98	4.90	4.65	4.50
P ₂ O ₅	0.25	0.03	0.04	0.32	0.04
烧失		1.02	0.42	0.39	
总量	99.78	100.21	99.81	100.09	97.24

(一) 鉀長石选择交代作用

研究了含褐鈦鉻矿花崗岩中交代作用各阶段之后，确証鉀長石选择交代作用为該类型花崗岩结晶作用后期交代作用的原始阶段。由于选择交代作用的強度不同，其表現形式也不一样：

同一个斜长石晶体遭到鉀長石交代作用并不是均一的，因此在斜长石晶体中正长石、微斜长石(格状)三者呈漸变关系(照片 1—2)。这种現象虽然少見，却反映了鉀長石选择交代作用初期交代作用強度的典型特征。当鉀長石交代作用繼續发育，则生成微斜长石(照片 3)。

条紋长石交代作用，无论是否垂直或平行斜长石的双晶进行交代时，都可能产生由斜长石殘留体在正长石中組成条紋連晶(照片 4—8)形成条紋长石(正长条紋长石)；其中条紋連晶与被交代的斜长石断續相連(照片 7、8)且光性基本一致，但两者 Ca、Na 长石分子的含量略有不同。条紋連晶富含 Na 长石分子貧于 Ca 长石分子，利用弗氏台測定結果，两者 An 相差 2—5±。显然由斜长石殘留体組成的条紋連晶，在成因上不同于这类花崗岩中固溶体状态生成的鈉长石条紋；后者是条紋长石交代作用較強的情况下形成的。

微斜条紋长石交代作用表現了交代作用強烈发育，因此在交代过程中已經消耗了大量的斜长石，所以在微斜条紋长石中少見斜长石殘留体，但在其附近的斜长石明显遭到鉀交代作用。交代过程使 Na、Ca、Al 大量轉入溶液，与 K 在飽和状态时形成微斜条紋长

石。

上述几种钾长石在成因上都是交代作用生成的，而不同种类的钾长石却反映了不同强度的钾长石交代作用。

(二) 斜长石脱钙作用

斜长石脱钙作用的实质，是由于钾长石交代作用使斜长石析出钙离子；因此斜长石脱钙作用的程度，主要取决于钾长石交代作用的强度。强烈的微斜条纹长石、条纹长石交代作用，常使斜长石被完全交代，或产出次生钠长石。这种钠长石是斜长石未被彻底交代，仅在成分上和形态上起了很大的变化，显然它不是由微斜条纹长石、条纹长石固溶体形成的；而是强烈的钾长石交代作用时，固相与液相之间的交代反应产物（照片9）。

斜长石与微斜条纹长石、条纹长石接触，或在其中呈残留体，其边部常具有钠长石（An₆—12）外带，向内则表现出渐进的脱钙作用，因而产生了钠长石次变边，甚至形成明显的次生环带构造（照片10）。无论哪一代石英、早期钾长石和黑云母与微斜条纹长石、条纹长石接触，都不产生这种现象，因此表明钾长石选择交代与斜长石脱钙作用的一致性。

斜长石脱钙作用释放出的Ca、Al等，在碱性元素（特别是K）饱和以及富含挥发性组分（F⁻、Cl⁻、H₂O）的情况下，易形成绢云母；因此在斜长石大晶体中往往被许多绢云母所复盖。同时在微斜条纹长石、条纹长石与早期造岩矿物的间隙生成萤石。

以上所述表明，交代作用的强度不同而相应地形成了不同种类的钾长石。交代作用由弱到强的交代过程为：①正长石交代作用→②正长石和微斜长石（格状）混晶交代作用→③微斜长石交代作用→④条纹长石（正长条纹长石）交代作用→⑤微斜条纹长石交代作用。这些不同强度的交代作用，以第④⑤两种特征较普遍，第①②③三种特征少见，因此说明了含褐钇鈮矿花岗岩中钾长石交代作用较强。它们是在造岩矿物基本固结时，富含K₂O的残余熔体，沿着早期造岩矿物（斜长石、早期钾长石、黑云母、石英I）的间隙进行选择交代，并在花岗岩结晶作用后期表现得最强烈，突出地表现了奥长石被微斜条纹长石、条纹长石交代后，有的晶体几乎完全分解或变成次生钠长石。

钾长石交代作用与花岗岩结晶作用之间，在时间上没有明显的间断，在空间分布上多趋向花岗岩的边部（或顶部）（图1）。

(三) 石英的发育世代

含褐钇鈮矿花岗岩中SiO₂含量很高，它除了组成铝硅酸盐类矿物以外，并形成了不同世代的石英，根据石英的结晶习性不同可分为下列几种：

石英I 在斜长石中或斜长石与钾长石之间生成，一端具有锥体，它常被钾长石溶蚀（照片11、12），偶而可见到锥体的生长纹。

石英II 数量较多，分布很广，为石英颗粒组成的链状、球颗粒状，常溶蚀斜长石、黑云母等矿物。与造岩矿物之间的结构关系表明，它明显地晚于黑云母和斜长石生成，如挤压或挤弯黑云母片而生长，也常见它沿着黑云母、钾长石、斜长石的间隙生成，相当于钾长石交代作用阶段的产物。

石英 III 在斜长石的边部成蠕虫状、乳滴状，在钾长石中成小颗粒状分布，为钾长石交代作用形成的，较少见。

三、含褐钇鈮矿花岗岩结晶作用后期交代作用阶段

花岗岩结晶作用由早期到后期，矿物开始晶出发展到大量晶出时，已经消耗了大部分的能量，因而一部分元素从矿物晶出必定和熔体的元素发生分异，按质量作用定律，残余熔体的成分及浓度也要因元素的析出而发生变化。已晶出的矿物与熔体中的元素发生反应，因而产生了不同元素和矿物组合在不同时间和空间的分异活动。因此在这类花岗岩中斜长石、黑云母、角闪石、早期钾长石和早世代石英的晶出，以及花岗岩结晶作用后期钾长石交代作用强烈发育，表示了不同碱性强度的地球化学阶段，同时花岗岩中副矿物的形成也反映了不同阶段的碱性浓度。

在早期阶段角闪石、黑云母、钛铁矿、磷灰石、褐帘石、榍石的出现，不利于铌钽酸盐类矿物富集，因为 Nb、Ta、TR 在能量上有利于成类质同象的形式分散在这些矿物之中，如：角闪石、黑云母、 $(Nb, Ta)^{5+} + 2Mg^{2+} \rightarrow 2Fe^{3+} + Al^{3+}$ 、 $(Nb, Ta)^{5+} + Al^{3+} \rightarrow 2Fe^{2+} + Si^{4+}$ ，钛铁矿 $(Nb, Ta)^{5+} + Fe^{3+} \rightarrow 2Ti^{4+}$ ，磷灰石 $(Nb, Ta)^{5+} + TR^{3+} \rightarrow 4Ca^{2+}$ ，褐帘石 $Y^{3+} + Al^{3+} \rightarrow Ca^{2+} + Ti^{4+}$ ，榍石 $(Nb, Ta)^{5+} + TR^{3+} \rightarrow Ti^{4+} + 2Ca^{2+}$ ，这些矿物量与花岗岩中其他造岩矿物量相比虽然不多，但总量之大却成为影响 Nb、Ta、TR 富集不可忽视的因素，因为褐钇鈮矿的富集，往往与这些矿物成反比的消长关系。

含褐钇鈮矿花岗岩结晶作用后期，自交代作用的发展过程可分为钾长石交代作用阶段和钠长石析出交代作用阶段。

(一) 钾长石交代作用阶段

这是含褐钇鈮矿花岗岩结晶作用后期造岩矿物自交代作用的发育阶段，它区别于花岗岩早期结晶作用阶段和期后交代作用阶段：① 熔体中富含有较高的碱性元素（主要是钾），其次是挥发性组分（F⁻、Cl⁻…）相对增高；② 富含有 Nb、Ta、ΣY 等稀有元素及其矿物；③ 晚期钾长石（微斜条纹长石、条纹长石）及晚期石英发育；④ 造岩矿物自交代作用明显。

钾的浓度增高一方面是 Ca、Na 的析出形成了斜长石，另一方面由于碱性元素的化合物（氟化物等）可以引起熔体内的液相增加，因此元素的结晶能力减小，活性增强，使 K 有可能在花岗岩结晶作用后期浓度增高。由于早期结晶作用已经消耗了大量的 Al，至后期在钾的浓度增高的情况下，缺乏足够的络阴离子与这些碱性元素相结合，因此可能主要通过其中具有两性特征的高价阳离子（Nb、Ta 等）与氧结合成络离子，但在氟普遍存在的条件下，首先与氟结合，形成可溶性的络合物达到熔体内电价平衡。

褐钇鈮矿广泛分布于微斜条纹长石、条纹长石和石英 II 中、边部、或颗粒之间（照片 13）也常见大晶体的褐钇鈮矿主要部分产于微斜条纹长石、条纹长石中，则尖端部分与斜长石呈缝合接触。据统计上述产状的褐钇鈮矿约占 80% 以上。并且偶而在斜长石和黑云母中见到小晶体的褐钇鈮矿，但矿化很弱，因此褐钇鈮矿主要是富集在微斜条纹长石、条纹长石交代作用阶段。强烈的钾长石交代作用，在做为褐钇鈮矿形成与富集的宏观标

志前提下，相应取决下列两个方面：

1. 花岗岩中碱性强度与稀有元素矿化有关 含褐钇铜矿花岗岩 Ca、Mg、Fe 均比一般酸性花岗岩克拉克值低，K、Na 均比一般酸性花岗岩克拉克值高，钠的含量有时偏低，在含矿富的地段克拉克值高，钾始终高于钠，因此说明了该类花岗岩碱性较强。在 $\frac{Ca + Mg + Fe}{K + Na} < 0.5$ 的前提下，

$$K + Na$$

① 斜长石含量 $> 10\% < 20\%$ 时，K、Na 含量较高。

$$\frac{K + Na}{Al} \geq 1, \text{褐钇铜矿矿化强}; \frac{K + Na}{Al} > 0.8 < 1, \text{褐钇铜矿矿化弱}.$$

② 斜长石含量 $\geq 20\% < 28\%$ 时，K、Na 含量仍可能较高，但须考虑 Ca 的作用，因此：

$$\frac{K + Na + 2Ca}{Al} \geq 1 < 1.3, \text{褐钇铜矿矿化强}; \frac{K + Na + 2Ca}{Al} < 1, \text{褐钇铜矿矿化弱}.$$

2. 与稀有元素之间的浓度有关 这类花岗岩体由内向外，随着 K、Na 含量的增高，Nb、Ta、TR 也相应增高。根据含褐钇铜矿花岗岩结晶作用早期晶出的副矿物类（褐帘石、独居石等）表明，在花岗岩结晶作用后期 ΣCe 与 ΣPO_4 的浓度较低，而 ΣY 与 Nb、Ta 在钾长石交代过程中浓度相对增高，有利形成褐钇铜矿矿化，因此：

① $\frac{Y}{Nb + Ta + Ti} > 0.1 \leq 0.5$ ，主要形成褐钇铜矿，并形成少量稀土磷酸盐类矿物（磷钇矿、独居石）。

② $\frac{Y}{Nb + Ta + Ti} > 0.02 < 0.1$ ，除了形成少量褐钇铜矿之外，主要形成稀土硅酸盐类矿物（褐帘石）和钛矿物（钛铁矿、榍石）。

（二）钠长石析出交代作用阶段

在本阶段之前奥长石和钾长石的晶出，减弱了钠长石在本阶段的发育，它仅是随着微斜条纹长石、条纹长石交代作用的发育而生成，因为钾长石选择交代过程中，含钾长石分子为主与钠长石分子呈混熔状态的残余熔液又混入了过量的钠长石分子，当温度继续下降，微斜条纹长石或条纹长石开始形成，高于混熔限度的钠长石分子呈固溶体状态分离出来，沿着晶体的裂隙形成钠长石条纹，并在微斜条纹长石、条纹长石的周围形成钠长石（照片 14）。有时沿着早期钾长石（非格状微斜长石）的解理或裂隙充填交代，构成次生钠长石条纹，但这种现象少见。因此这一阶段只有交代作用的成因意义，没有成矿关系上的意义。

四、钾长石交代作用与褐钇铜矿的矿化

在这一类型花岗岩中，钾长石交代作用不仅是相应温度压力的变化而改变了化学性质，并且更重要的引起某些成分的转变，熔体中化学成分的转变表现在主要方面是 K 的带入和 Ca、Na 的带出，同时在这类矿床中，与交代作用有关的矿物共生是讨论矿床成因不可忽视的一个方面，如萤石的普遍分布，不但表示了氟的存在增加了含钾熔液的活动性，同时可能以离子形态 F^- 形成配位化合物，并且它所形成的配位键是属于离子型的。根

据絡合物的性状，酸性阴离子 F^- 与碱性元素 K 对稀有元素可能成 $A_x[BC_y]$ 型的可熔性絡合物进行搬运 (A 为 K、Na 等碱性元素, B 为 Nb、Ta、TR 等形成絡合物的稀有元素, C 为 F^- 、 Cl^- 等酸性阴离子, x 、 y 为已知数)。因此在鉀长石交代作用过程中所形成的絡合物最有可能为： $K_2[NbF_7]$ 、 $K_2[TaF_7]K_2[WF_5]$ 型，假設熔体中絡合物的生成与解离在化学动平衡的反应中是可逆的，则在鉀长石交代作用过程中 $B + yC \rightleftharpoons [BC_y]$ 和 $xA + [BC_y] \rightleftharpoons A_x[BC_y]$ 趋向右方移动，则生成常数分別为：

$$k_1 = \frac{[BC_y]}{[B][C]^y} \quad k_2 = \frac{[A_x(BC_y)]}{[A]^x[B][C_y]}$$

总生成常数应为連續生成常数的乘积： $K = k_1 \cdot k_2 \cdots$

強烈的鉀长石交代作用改变了熔体内物理化学条件，因之絡合物的稳定性必然遭到破坏， $A_x + [BC_y] \rightleftharpoons A_x[BC_y]$ 和 $B + yC \rightleftharpoons [BC_y]$ 趋向左方移动，则絡离子的解离常数分別为：

$$k' = \frac{[A]^x[B][C_y]}{[A_x(BC_y)]} \quad k'' = \frac{[B][C]^y}{[BC_y]}$$

总解离常数应为連續解离常数的乘积： $K_1 = k' \cdot k'' \cdots$

这个数值愈大表示絡离子愈不稳定。

从 K 和 K_1 互为倒数关系可知，在鉀长石交代过程中 $K > K_1$ 时， K 具有最大值，熔体中的絡合物因而增多。但是在鉀长石強烈交代作用过程中 $K_1 > K$ 时， K_1 具有最大值，与此同时斜长石因鉀长石交代作用析出 Ca 离子，所形成的氟合絡离子也将因 Ca^{2+} 的增多而解离 (Ca 离子数与解离常数 K_1 成正比关系)，因为 Ca 离子增多意味着夺取氟合絡离子中的氟而形成萤石的可能性愈大。所以鉀长石选择交代作用促使 Nb、Ta、TR 等稀有元素由形成絡离子到呈自由离子状态析出，最后达到它們足以形成褐鈇鉄矿、鉄鉬鉄矿的浓度呈固相分离出来。

五、結論

1. 鉀长石交代作用促使褐鈇鉄矿矿化，尤其鉀长石(微斜条紋長石、条紋長石)強烈交代作用，在做为褐鈇鉄矿形成和富集宏观标志的前提下，造岩元素的碱度和稀有元素的浓度可能相应增高，有利稀有元素矿化。

2. 在鉀长石(微斜条紋長石、条紋長石)強烈交代作用之后，相继形成了輕微的鈉长石析出交代作用，因此显示了这类花崗岩結晶作用后期自交代作用的繼承性和鈉长石化前期的特点。

參 考 文 獻

- [1] 严志弦編著 1960 絡合物化学。
- [2] Emmons, R. C. and Mann, Virgil 1953 Twin-zone relationship in plagioclase feldspar. Selected petrogenic relationships of plagioclase.
- [3] Schermerhorn, L. J. G. 1956 The granite of trancoso (portugal): a Study in Microclinization. American Journal of Science. Vol. 254. No. 6 June.
(部分参考文献从略)



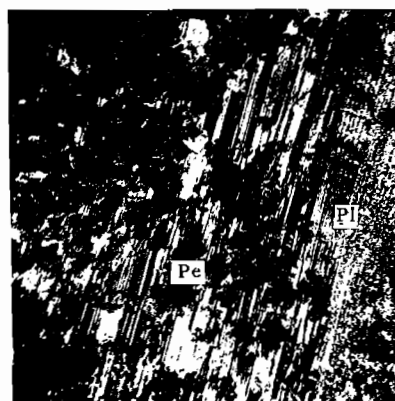
照片 1 正长石(Or)交代斜长石(Pl)
薄片+偏光×10



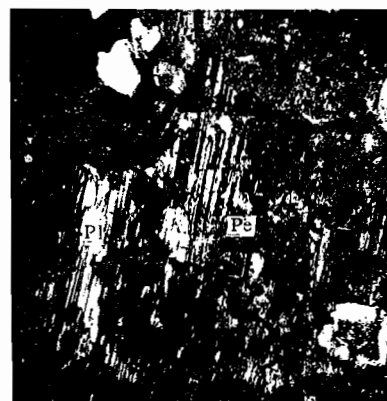
照片 2 微斜长石(M)与正长石(Or)
薄片+偏光×10



照片 3 微斜长石(M)交代斜长石(Pl)
薄片+偏光×10



照片 4 条纹长石(Pe)交代斜长石(Pl)
薄片+偏光×10



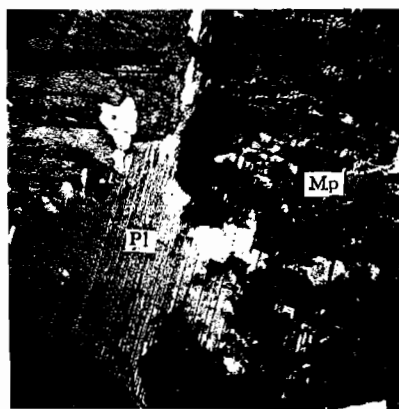
照片 5 条纹长石(Pe)交代斜长石(Pl)
薄片+偏光×10



照片 6 斜长石(Pl)残留体在正长石
(Or)中构成条纹连晶初象
薄片+偏光×10



照片 7 条纹长石(Pe)交代斜长石(Pl)
薄片+偏光×10



照片 8 微斜条纹长石(Mp)交代斜长石(Pl)
薄片+偏光×10



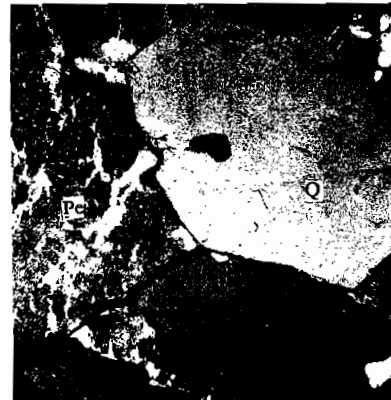
照片 9 斜长石(Pl)被钾长石(Or)交
代后生成次生钠长石(Al)
薄片+偏光×10



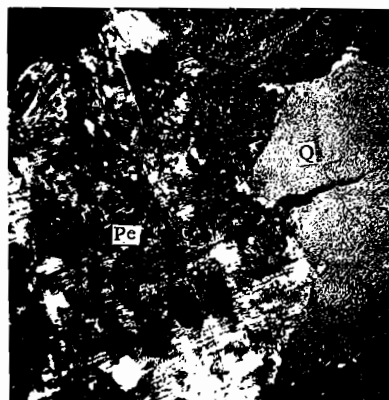
照片 10 斜长石(Pl)中的次生环带构造
薄片+偏光×10



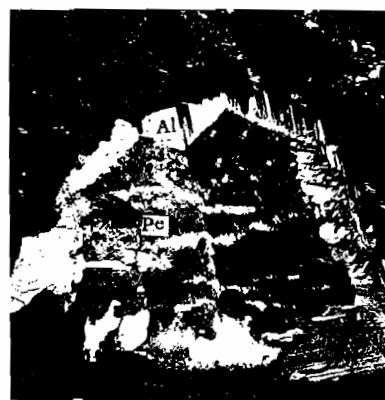
照片 11 条纹长石交代石英
薄片+偏光 $\times 10$



照片 12 条纹长石(Pe)熔蚀石英(Q)
薄片+偏光 $\times 10$



照片 13 褐钇铜矿(F)生于条纹长石
(Pe)或石英(Q)裂隙中
薄片+偏光 $\times 10$



照片 14 在条纹长石(Pe)边部析出
钠长石(Al)
薄片+偏光 $\times 10$